

Physique Générale : Mécanique 11.02: Statique et dynamique du solide

Sections SC, GC & SIE , BA1

Dr. J.-P. Hogge

Swiss Plasma Center

École polytechnique fédérale de Lausanne

Version du 28.8.2023

[■] Faculté

des sciences
de base



Aujourd'hui

- Dynamique du solide: équilibre statique.
 - Exemple: Pont à treillis
- \blacksquare Cas particulier : solide en rotation autour d'un axe fixe \triangle .
 - Moment cinétique par rapport à l'axe Δ
 - Moment d'inertie par rapport à l'axe ∆
 - Energie cinétique de rotation
 - Théorème du moment cinétique
 - Moment des forces par rapport à l'axe Δ .
- Exemples de calcul de moment d'inertie par rapport à un axe
- Règle de Huygens-Steiner
- Analogies entre mouvement translationnel et rotationnel
- Exemple: pendule physique
- Exemple: cylindre sur plan incliné
- Annexe: Moment cinétique d'un solide: cas général
 - Tenseur d'inertie
 - Energie cinétique

- Faculté

 des sciences
 de base
- Swiss
 Plasma
 Center



Solide indéformable: remarque préliminaire

Comme un solide indéformable est un cas particulier de système de points matériels, les lois de la dynamique :

$$M\vec{a}_G = \vec{F}^{\rm ext}$$

$$\frac{d\vec{L}_O}{dt} = \vec{M}_O^{\rm ext}$$

$$\frac{d\vec{L}_O}{dt} = \vec{M}_O^{\text{ext}} \qquad \frac{d\vec{L}_A}{dt} = -\vec{v}_A \wedge M\vec{v}_G + \vec{M}_A^{\text{ext}}$$

... le théorème de transfert:

$$\vec{L}_A = \vec{L}_O + \overrightarrow{AO} \wedge M\vec{v}_G$$

... et les théorèmes de Koenig I et II

$$\vec{L}_A = \overrightarrow{AG} \wedge M\vec{v}_G + \vec{L}_G^*$$

$$E_{\rm cin} = \frac{1}{2}Mv_G^2 + E_{\rm cin}^*$$

sont toujours valables!

■ Faculté des sciences de base



Système à l'équilibre statique

 Un système de points matériels (et en particulier un solide) est à l'équilibre statique si

$$\begin{cases} \vec{r}_{\alpha} = \operatorname{cst} \\ \vec{v}_{\alpha} = 0 \end{cases} \quad \forall \alpha \in \operatorname{système}$$

On en tire que la quantité de mouvement et le moment cinétique sont nuls

$$\begin{cases} \vec{p} = \sum_{\alpha} m_{\alpha} \vec{v}_{\alpha} = 0 \\ \vec{L}_{O} = \sum_{\alpha} \vec{r}_{\alpha} \times m_{\alpha} \vec{v}_{\alpha} = 0 \end{cases} \quad \forall O \in \text{r\'ef\'erentiel}$$

et on établit les Conditions d'équilibre

$$\begin{cases} \frac{d\vec{p}}{dt} = 0 \\ \frac{d\vec{L}_O}{dt} = 0 \end{cases}$$

$$\begin{cases} \vec{F}^{\text{ext}} &= 0 \\ \vec{M}_O^{\text{ext}} &= 0 \end{cases} \quad \forall \, O \in \text{r\'ef\'erentiel}$$



Exemple de statique: pont à treillis Voir 11.03

- Faculté

 des sciences

 de base
- SwissPlasmaCenter



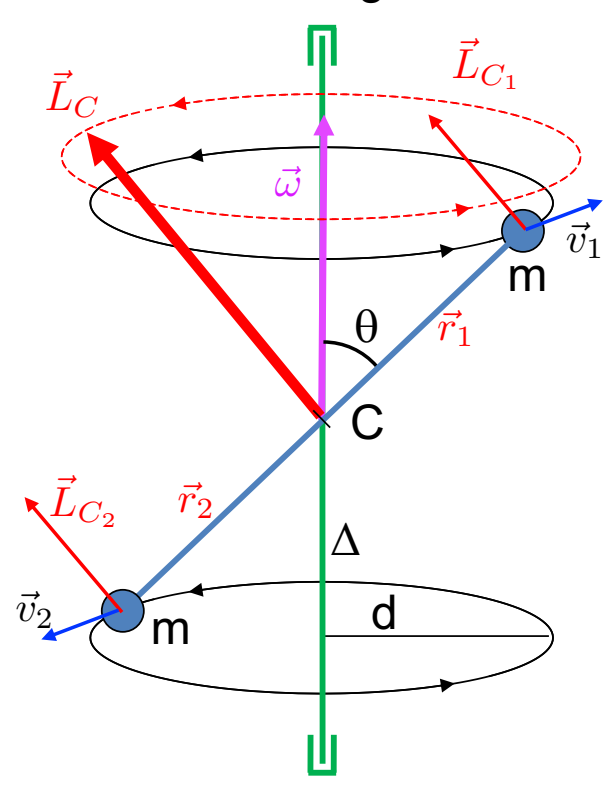
Dynamique du solide: Cas particulier d'un solide en rotation autour d'un axe fixe

- Faculté

 des sciences
 de base
- SwissPlasmaCenter



On considère un solide simple, formé de deux points matériels de masse m, liés rigidement par une tige de masse nulle, et d'un axe Δ (noté en vert) lui aussi de masse nulle, maintenu en place à ses extrémités. Le vecteur reliant les deux masses fait un angle θ avec Δ.

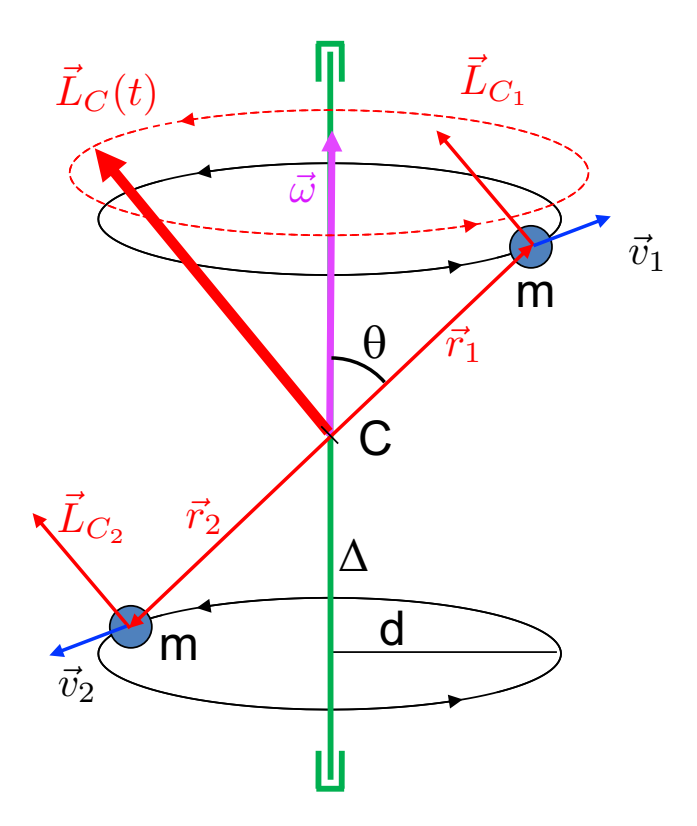


Cet exemple illustre le fait que le moment cinétique n'est en général pas parallèle à l'axe de rotation, sauf si celui-ci est sur un axe de symétrie du solide. Cela se traduit par l'apparition de moments exercés par le support de l'axe et vice-versa.

- Faculté des sciences de base
- SwissPlasmaCenter



Quelle est la direction des forces exercées par le support sur l'axe ?

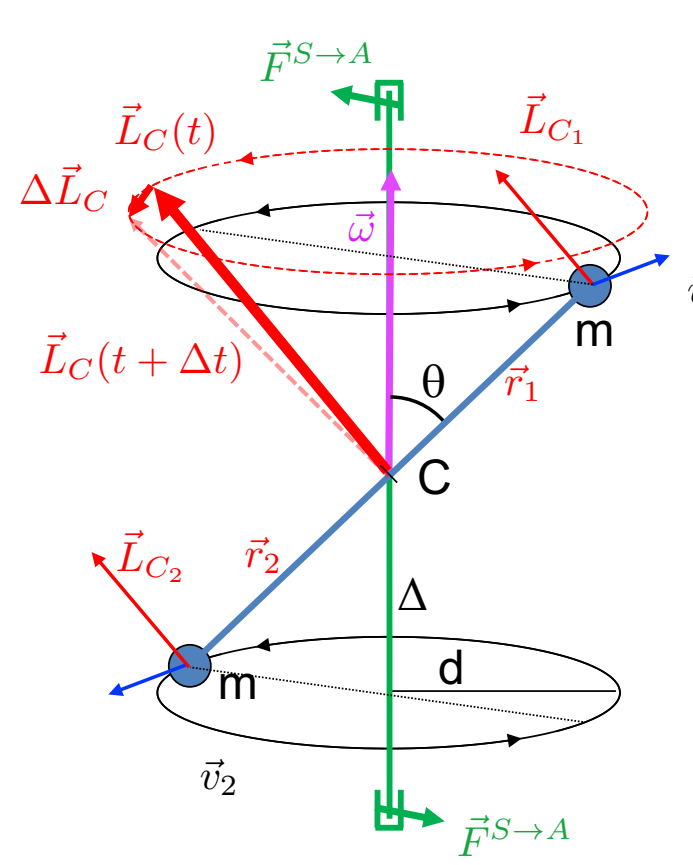


- Faculté

 des sciences
 de base
- Swiss Plasma Center



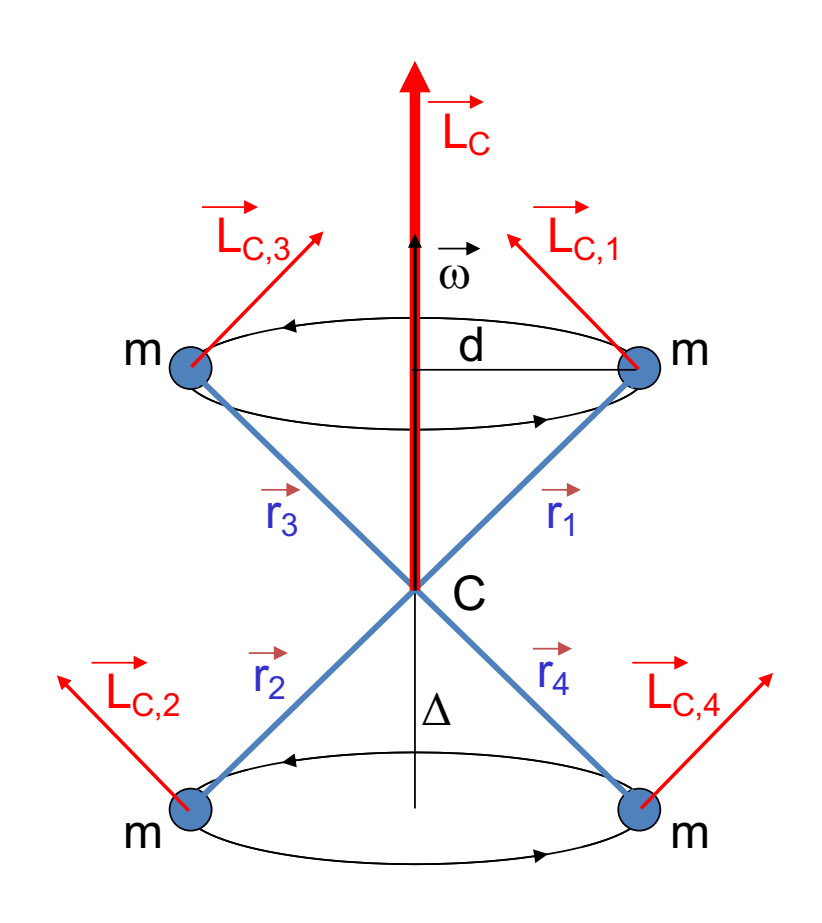
Quelle est la direction des forces exercées par le support sur l'axe ?



- Le système que nous considérons est :
 - 2 masses + tige + axe
- Entre l'instant t et l'instant t+ Δ t le moment cinétique par rapport à C varie de $\Delta \vec{L}_C$
- Le moment des forces externes doit être parallèle à $\Delta \vec{L}_C$. Elles sont donc dans le plan formé par la tige et l'axe.
- Les forces 'tournent' avec l'axe
- Application: équilibrage des roues de voitures.

- Faculté des sciences de base
- SwissPlasmaCenter





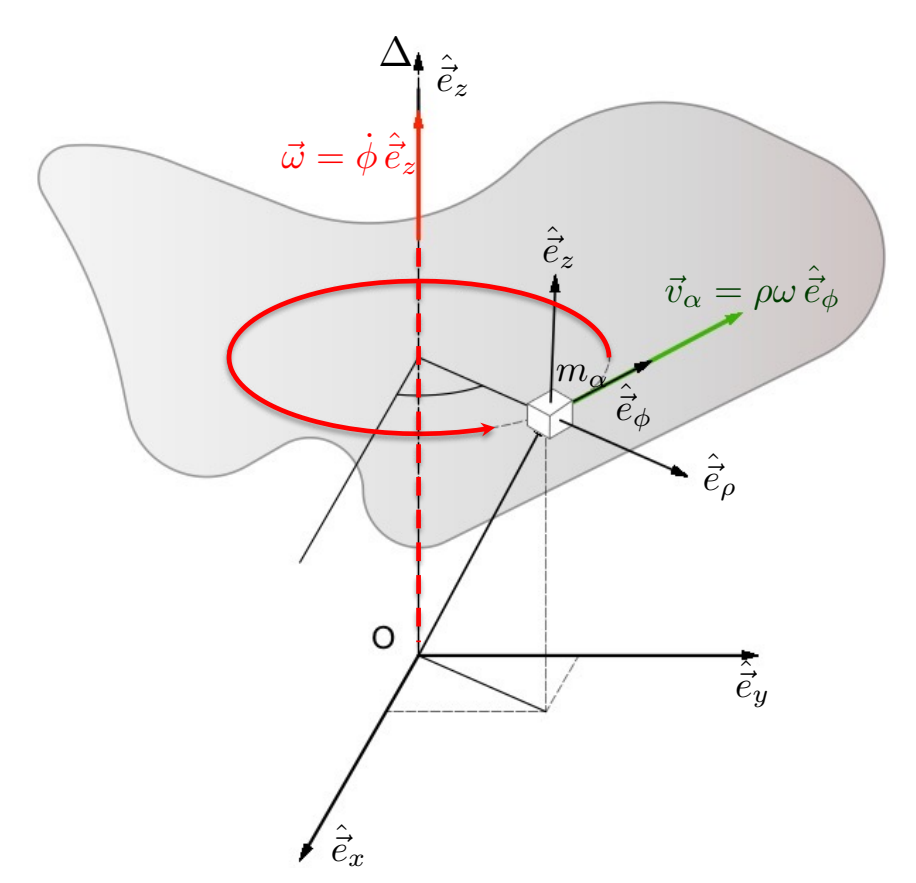
■ Si le système est symétrique par rapport à l'axe de rotation, alors le moment cinétique est parallèle à l'axe.

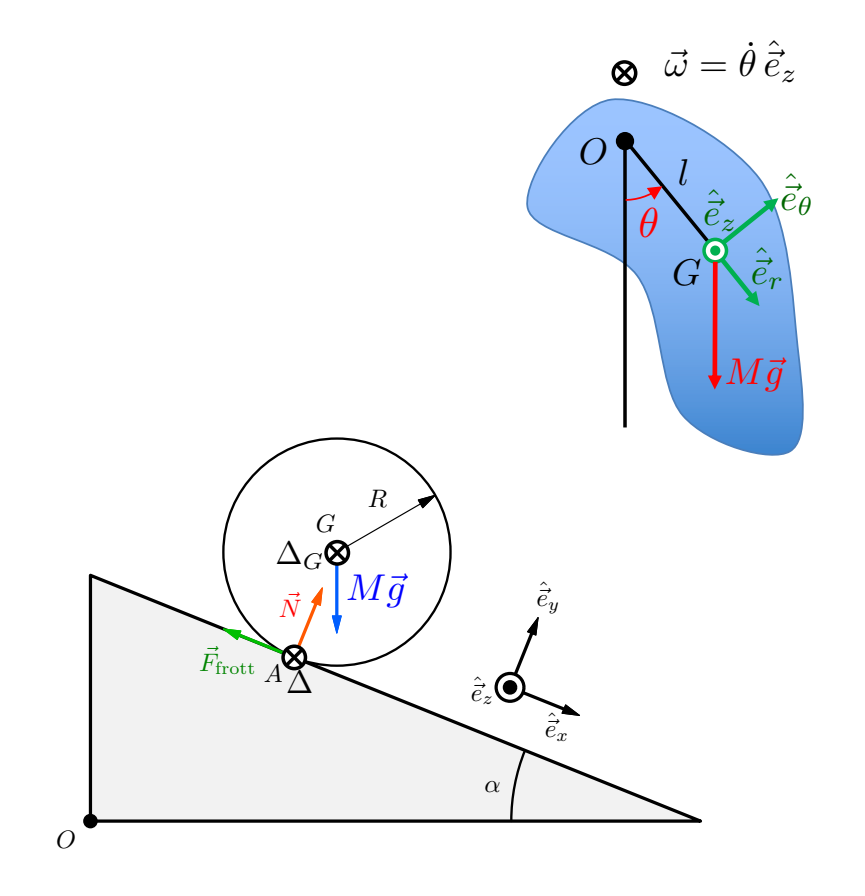
- Faculté des sciences de base
- SwissPlasmaCenter



Solide en rotation autour d'un axe fixe

Axe fixe: direction fixe par rapport au référentiel d'inertie





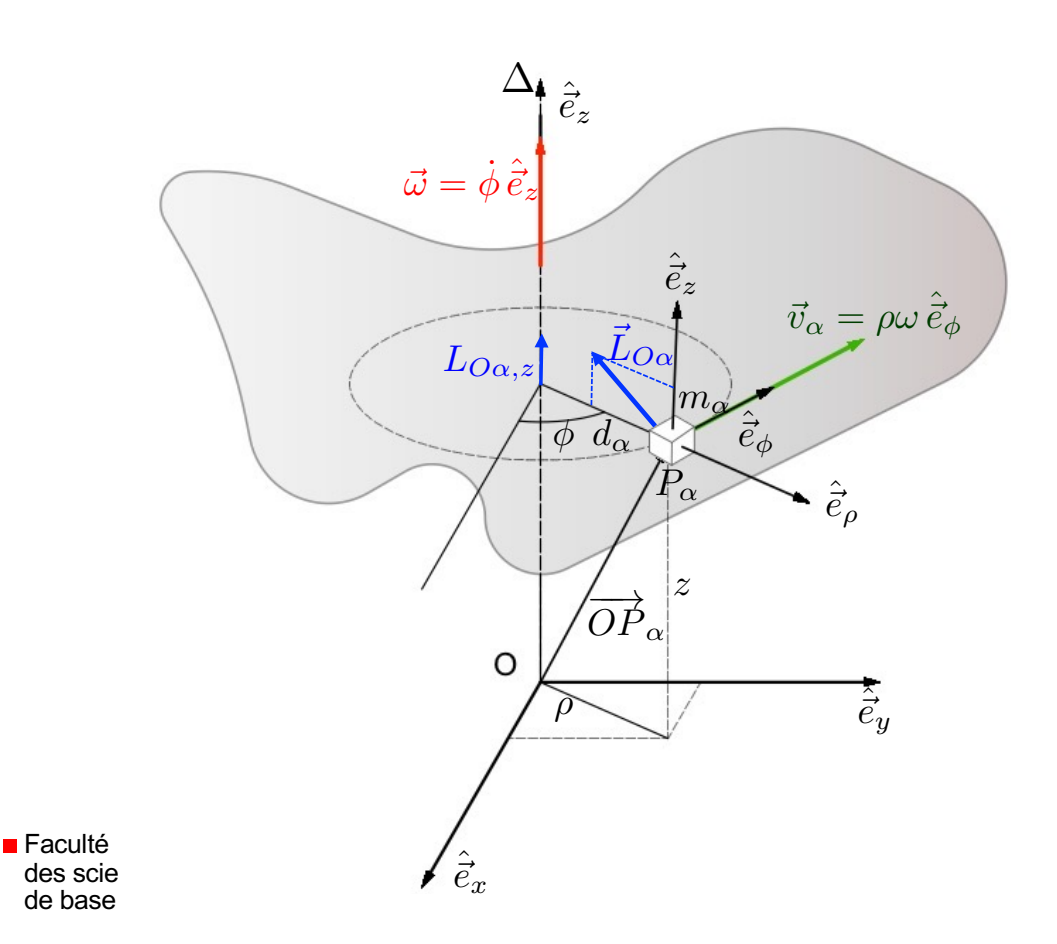
■ Faculté des sciences de base

Swiss
Plasma
Center



Solide en rotation autour d'un axe fixe:

vitesse



On considère un solide tournant autour d'un axe de rotation fixe*, noté Δ , avec un vitesse angulaire $\vec{\omega}$. On place l'origine du référentiel sur l'axe de rotation et on aligne $\hat{\vec{e}}_z$ avec Δ .

Le mouvement de chaque point P_{α} de masse m_{α} du solide est circulaire, dans un plan perpendiculaire à $\vec{\omega}$:

$$\vec{v}_{\alpha} = \vec{\omega} \times \overrightarrow{OP}_{\alpha} = \omega \hat{\vec{e}}_{z} \times \left(d_{\alpha} \hat{\vec{e}}_{\rho} + z \hat{\vec{e}}_{z} \right)$$

$$\vec{v}_{\alpha} = d_{\alpha}\omega \,\hat{\vec{e}}_{\phi}$$

 d_{α} : distance entre m_{α} et Δ

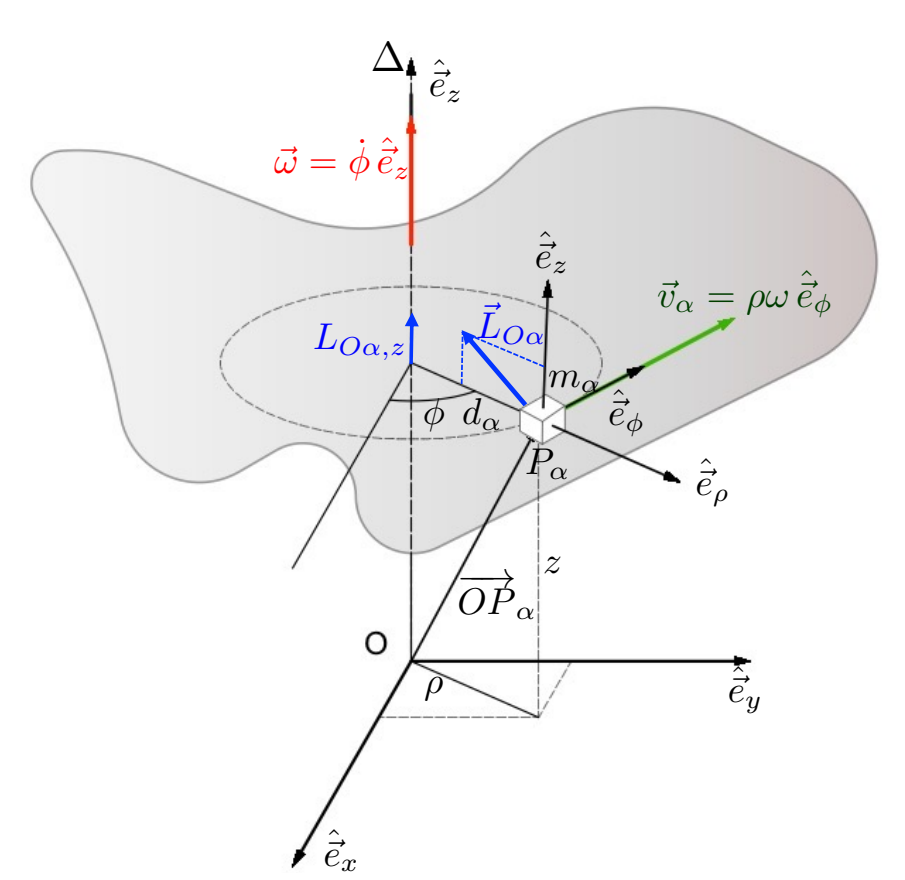
Center

^{*} on considère que les supports de l'axe exercent les forces nécessaires pour maintenir celui-ci en place au cas où le solide n'est pas symétrique.



Solide en rotation autour d'un axe fixe:

moment cinétique



Le moment cinétique du point matériel P_{α} par rapport au point O est donc:

$$\vec{L}_{O_{\alpha}} = \overrightarrow{OP}_{\alpha} \times m_{\alpha} \vec{v}_{\alpha}$$

$$= \left(d_{\alpha} \hat{\vec{e}}_{\rho} + z \hat{\vec{e}}_{z} \right) \times m_{\alpha} d_{\alpha} \omega \hat{\vec{e}}_{\phi}$$

$$= m_{\alpha} d_{\alpha}^{2} \omega \hat{\vec{e}}_{z} - m_{\alpha} d_{\alpha} z \omega \hat{\vec{e}}_{\rho}$$

La composante en z du moment cinétique total est alors:

$$L_{O_z} = \vec{L}_O \cdot \hat{\vec{e}}_z = \left(\sum_{\alpha} m_{\alpha} d_{\alpha}^2\right) \omega = I_{\Delta} \omega$$

Quel que soit le point O appartenant à l'axe, la composante en z du moment cinétique total est identique.

■ Faculté des scie de base



Moments cinétique et d'inertie par rapport à un axe

<u>Définition:</u> Moment cinétique par rapport à un axe ∆

$$L_{\Delta} = \vec{L}_O \cdot \hat{\vec{e}}_z = \left(\sum_{\alpha} m_{\alpha} d_{\alpha}^2\right) \omega$$
 [kg m²/s

<u>Définition:</u> Moment d'inertie par rapport à un axe ∆

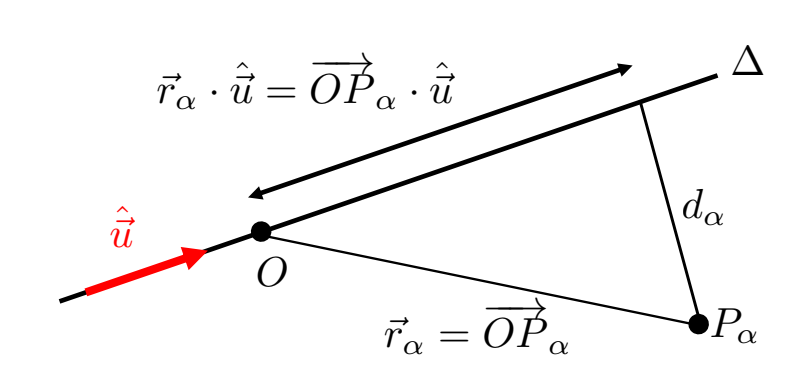
$$I_{\Delta} = \sum_{\alpha} m_{\alpha} d_{\alpha}^{2} \qquad \left[\text{kg m}^{2} \right]$$

Si $\hat{\vec{u}} = \frac{\vec{\omega}}{\omega}$ est un vecteur unitaire parallèle à l'axe de rotation, alors

$$d_{\alpha}^{2} = \overrightarrow{OP}_{\alpha}^{2} - \left(\overrightarrow{OP}_{\alpha} \cdot \hat{\vec{u}}\right)^{2}$$

ou encore

$$d_{\alpha}^2 = \vec{r}_{\alpha}^2 - \left(\vec{r}_{\alpha} \cdot \hat{\vec{u}}\right)^2$$



Faculté des sciences de base

Swiss Plasma Center



Moment d'inertie par rapport à un axe, cas continu

Le passage au cas continu se fait en remplaçant la sommation sur l'indice α par une intégrale sur le volume du solide:

$$I_{\Delta} = \sum_{\alpha} m_{\alpha} d_{\alpha}^2$$

$$I_{\Delta} = \int\limits_{V} dm \left(\vec{r}^{\,2} - (\vec{r} \cdot \hat{\vec{u}})^2 \right) = \int\limits_{V} \rho(\vec{r}) \left(\vec{r}^{\,2} - (\vec{r} \cdot \hat{\vec{u}})^2 \right) dV \qquad \text{Moment d'inertie d'un solide par rapport à un axe } \Delta$$

- Le moment d'inertie est une grandeur purement géométrique, qui dépend de la répartition de la masse du solide par rapport à l'axe considéré.
- Il caractérise la capacité du solide à s'opposer à une rotation.
- C'est une grandeur extensive.

- Faculté des sciences de base
- Swiss Plasma Center



Moment d'inertie par rapport à un axe:

énergie cinétique de rotation

Avec les définitions précédentes, la relation entre le moment cinétique par rapport à un axe Δ et le moment d'inertie I_{Δ} est donc:

$$L_{\Delta} = I_{\Delta} \, \omega$$

Moment cinétique par rapport à un axe Δ

L'énergie cinétique de rotation correspond à la somme des énergies cinétiques de chaque point matériel:

$$E_{\text{cin,rot}} = \sum_{\alpha} \frac{1}{2} m_{\alpha} v_{\alpha}^{2} = \frac{1}{2} \left(\sum_{\alpha} m_{\alpha} d_{\alpha}^{2} \right) \omega^{2} = \frac{1}{2} I_{\Delta} \omega^{2}$$

$$E_{\rm cin,rot} = \frac{1}{2} I_{\Delta} \omega^2$$

Energie cinétique de rotation

- Faculté des sciences de base
- SwissPlasmaCenter



Théorème du moment cinétique

Théorème:

Pour un solide mobile en rotation autour d'un axe Δ fixé, de direction $\hat{\vec{u}}$ et passant par un point O, l'équation d'évolution est:

$$I_{\Delta} \frac{d\omega}{dt} = \vec{M}_O^{\text{ext}} \cdot \hat{\vec{u}}$$

Comme le point O est fixe on peut écrire

$$\frac{d\vec{L}_O}{dt} = \vec{M}_O^{\text{ext}} \implies \frac{d\vec{L}_O}{dt} \cdot \hat{\vec{u}} = \vec{M}_O^{\text{ext}} \cdot \hat{\vec{u}} \implies \frac{d\left(\vec{L}_O \cdot \hat{\vec{u}}\right)}{dt} = \vec{M}_O^{\text{ext}} \cdot \hat{\vec{u}}$$

$$\implies I_\Delta \frac{d\omega}{dt} = \vec{M}_O^{\text{ext}} \cdot \hat{\vec{u}}$$

- Faculté

 des sciences
 de base
- SwissPlasmaCenter



Théorème du moment cinétique

En revenant à une description en coordonnées cylindriques avec $\hat{\vec{u}} \equiv \hat{\vec{e}}_z$ le moment des forces externes au point P_{α} par rapport au point O est:

$$\vec{M}_{O,\alpha}^{\mathrm{ext}} = \overrightarrow{OP}_{\alpha} \wedge \vec{F}_{\alpha}^{\mathrm{ext}}$$

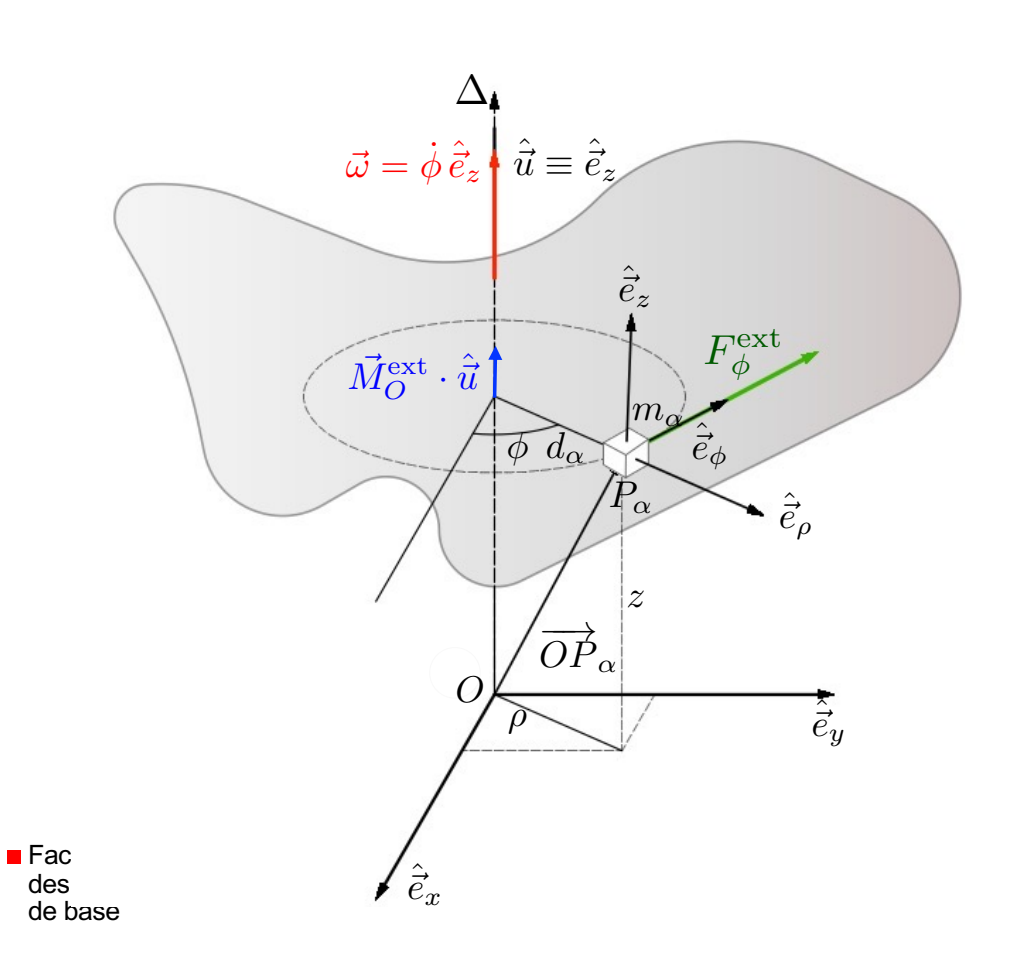
On développe:

$$\vec{M}_{O,\alpha}^{\text{ext}} = \left(d_{\alpha} \, \hat{\vec{e}}_{\rho} + z_{\alpha} \, \hat{\vec{e}}_{z} \right) \wedge \left(F_{\rho,\alpha}^{\text{ext}} \, \hat{\vec{e}}_{\rho} + F_{\phi,\alpha}^{\text{ext}} \, \hat{\vec{e}}_{\phi} + F_{z,\alpha}^{\text{ext}} \, \hat{\vec{e}}_{z} \right)$$

$$= d_{\alpha} \, F_{\phi,\alpha}^{\text{ext}} \, \hat{\vec{e}}_{z} - d_{\alpha} \, F_{z,\alpha}^{\text{ext}} \, \hat{\vec{e}}_{\phi} + z \, F_{\rho,\alpha}^{\text{ext}} \, \hat{\vec{e}}_{\phi} - z \, F_{\phi,\alpha}^{\text{ext}} \, \hat{\vec{e}}_{\rho}$$

d'où la composante en z est: $\vec{M}_{O,\alpha}^{\mathrm{ext}} \cdot \hat{\vec{e}}_z = d_{\alpha} F_{\phi,\alpha}^{\mathrm{ext}}$

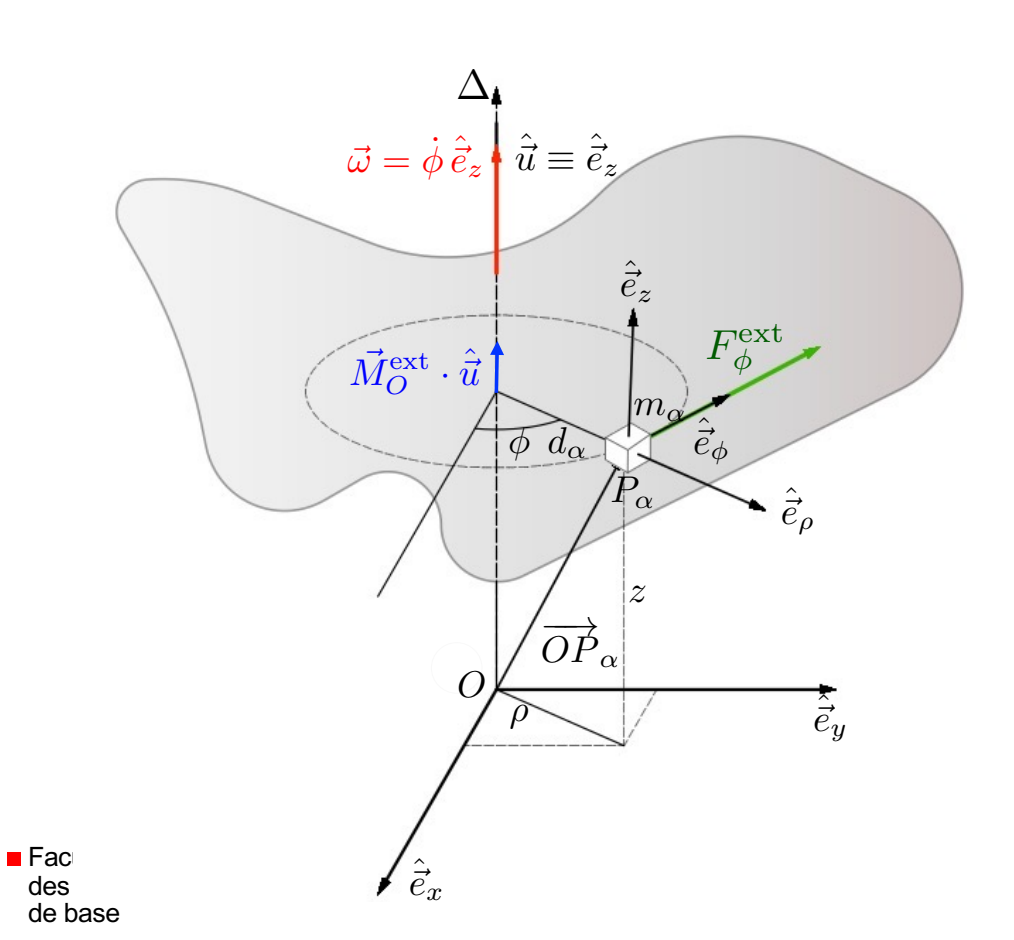
La composante en z du moment dépend uniquement de la composante azimuthale des forces externes et de la distance entre le point d'application et l'axe.



Swiss
Plasma
Center



Théorème du moment cinétique



Le terme

$$\vec{M}_{O,\alpha}^{\mathrm{ext}} \cdot \hat{\vec{u}} = d_{\alpha} F_{\phi,\alpha}^{\mathrm{ext}}$$

ne dépend pas de O. Comme précédemment, on définit le moment des forces externes par rapport à l'axe Δ

$$M_{\Delta}^{
m ext} = \sum_{\alpha} d_{\alpha} \, F_{\phi, \alpha}^{
m ext}$$

Moment des forces externes par rapport à l'axe Δ

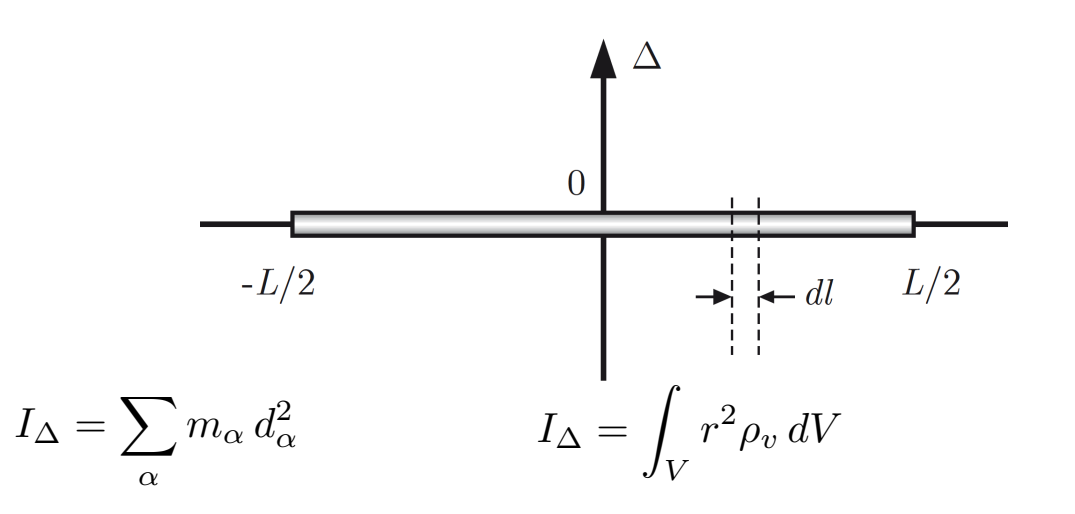
Le théorème du moment cinétique s'écrit alors:

$$I_{\Delta} \frac{d\omega}{dt} = M_{\Delta}^{\text{ext}}$$

Théorème du moment cinétique pour un solide en rotation autour d'un axe fixe.

Exemple: barre homogène, axe normal, centré

[mooc 20.2]



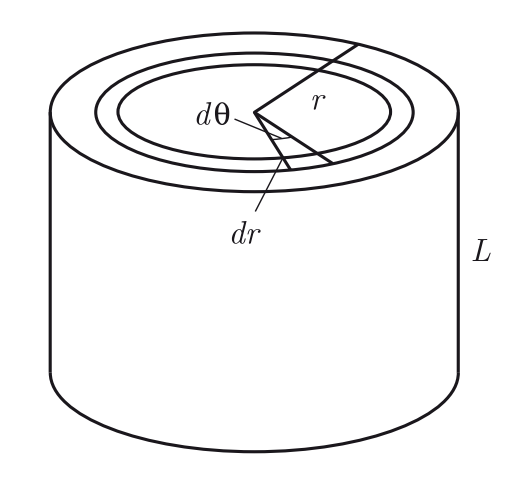
Hypothèse: L >> section

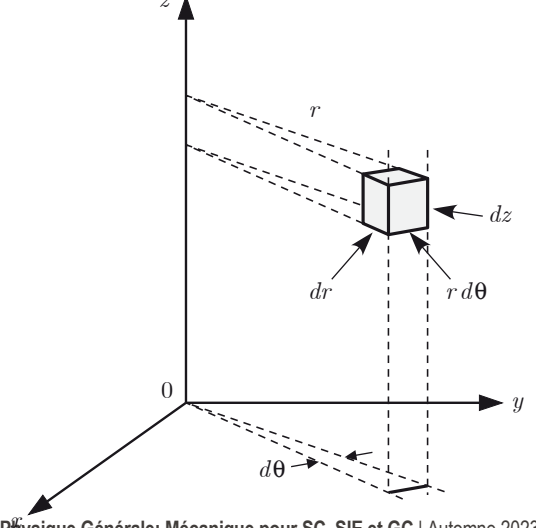
 ρ_v : densité volumique $=\frac{M}{V}$ $\left[\frac{\text{kg}}{m^3}\right]$ ρ_l : densité linéique $=\frac{M}{L}$ $\left[\frac{\text{kg}}{m}\right]$

■ Faculté des sciences de base

Swiss
Plasma
Center

$$I_{\Delta} = \int_{L/2}^{L/2} (\rho_l dl) l^2 = \rho_l \left[\frac{\ell^3}{3} \right]_{-L/2}^{+L/2} = \frac{\rho_l L^3}{12} = \frac{ML^2}{12}$$





$$I_{\Delta} = \int_{V} r^{2} \rho_{v} \, dV$$

$$dV = rd\theta \, dr \, dz$$

Densité volumique : $\rho_v = \frac{M}{\pi R^2 L}$

$$I_{\Delta} = \int_{-L/2}^{L/2} \int_{0}^{2\pi} \int_{0}^{R} \rho_{v} r^{3} d\theta dr dz$$

$$= \int_0^R \rho_v \, L2\pi r^3 dr = \frac{1}{2} \rho_v \pi L R^4$$

$$I_{\Delta} = \frac{1}{2}MR^2$$

SwissPlasmaCenter

■ Faculté des sciences

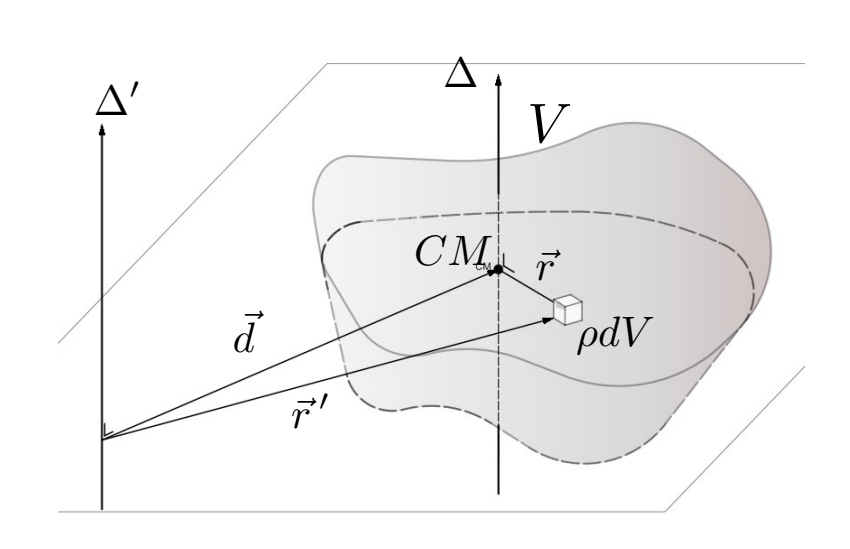
de base

Pflysique Générale: Mécanique pour SC, SIE et GC | Automne 2023



Règle de Huygens-Steiner

On admet que l'axe Δ contient le centre de masse du solide.
 On veut connaître le moment d'inertie par rapport à un axe Δ' parallèle à Δ.



$$I_{\Delta} = \int_{V} r^{2} \rho dV$$

$$I_{\Delta'} = \int_{V} r'^{2} \rho dV$$

$$= \int_{V} (\vec{d} + \vec{r})^{2} \rho dV$$

$$= \int_{V} (d^{2} + 2 \vec{r} \cdot \vec{d} + r^{2}) \rho dV$$

$$I_{\Delta'} = \underbrace{\int_{V} d^2 \rho dV}_{=Md^2} + 2\vec{d} \cdot \underbrace{\left(\int_{V} \vec{r} \rho dV\right)}_{=0} + \underbrace{\int_{V} r^2 \rho dV}_{=I_{\Delta}} = Md^2 + I_{\Delta}$$

SwissPlasmaCenter

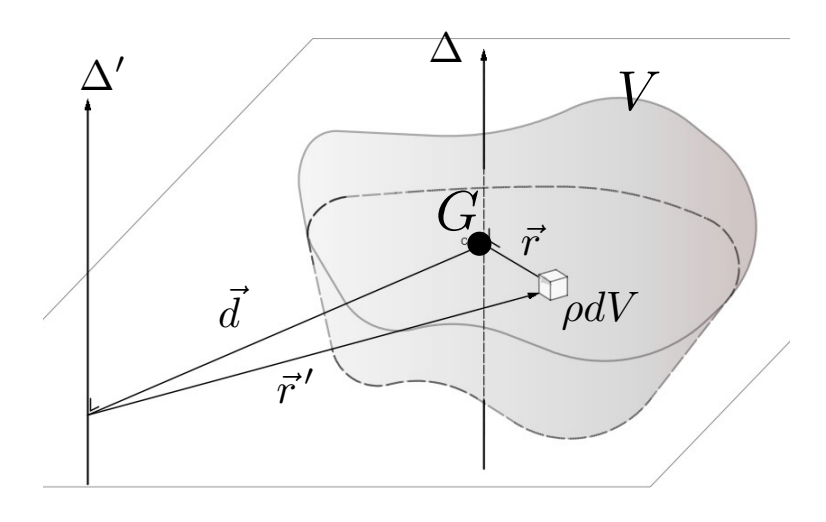
 Faculté des sciences de base



$$I_{\Delta'} = Md^2 + I_{\Delta}$$

Règle de Huygens-Steiner

Le moment d'inertie par rapport à un axe quelconque est égal au moment d'inertie par rapport à un axe passant par le centre de masse, additionné de la masse totale du solide multipliée par la distance entre les deux axes.



$$I_{\Delta'} = Md^2 + I_{\Delta}$$

- Faculté
 des sciences
 de base
- SwissPlasmaCenter



Analogies entre mouvement translationnel et mouvement de rotation

	Translation	Rotation
Position	$\vec{r}(x,y,z) = \vec{r}(t)$	$\phi = \phi(t)$
Vitesse	$\vec{v} = \frac{d\vec{r}}{dt}$	$\vec{\omega} = \frac{d\phi}{dt} \hat{\vec{e}}_{\Delta}$
Accélération	$\vec{a} = \frac{d\vec{v}}{dt}$	$\vec{\gamma} = \frac{d\vec{\omega}}{dt}$
Energie cinétique	$E^{\rm cin} = \frac{1}{2} m v^2$	$E^{\rm cin} = \frac{1}{2} I_{\Delta} \omega^2$
Opposition au mvt	$m = \sum_{i} m_{i}$	$I_{\Delta} = \sum_{i} r_i^2 dm_i$
Cause de l'accélération	Force \vec{F}	Moment M_{Δ}

Faculté
des sciences
de base

Swiss
Plasma
Center



Analogies entre mouvement translationnel et mouvement de rotation

	Translation	Rotation
Lois du mouvement	$ec{p}=mec{v}$	$L_{\Delta} = I_{\Delta} \omega$
	$\vec{F} = \frac{d\vec{p}}{dt}$	$M_{\Delta} = \frac{dL_{\Delta}}{dt}$
	$\vec{F} = m\vec{a}$	$M_{\Delta} = I_{\Delta} \gamma$
Lois de conservations	$\vec{F}^{\text{ext}} = 0$	$M_{\Delta}^{ m ext}=0$
	\Longrightarrow	\Longrightarrow
	$\vec{p} = \text{cst}$	$L_{\Delta} = \mathrm{cst}$

[■] Faculté

des sciences

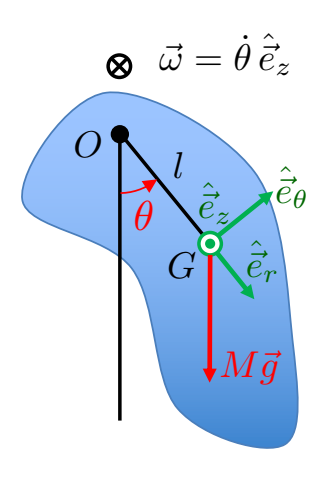
de base

Swiss
Plasma
Center



Solide en rotation autour d'un axe fixe: **Exemple: Pendule physique**

On considère un pendule de masse m et de moment d'inertie l_G par rapport à un axe perpendiculaire à la feuille et passant par le centre de masse. Le système est en rotation autour d'un axe Δ passant par O, lui aussi perpendiculaire à la feuille, et situé à une distance l de G.



$$L_{\Delta} = \vec{L}_{O} \cdot \hat{\vec{e}}_{z} = I_{\Delta} \vec{\omega} \cdot \hat{\vec{e}}_{z} = I_{\Delta} \omega$$
 $\vec{M}_{O} = l \, \hat{\vec{e}}_{r} \times M \vec{g}$
 $M_{\Delta} = \vec{M}_{O} \cdot \hat{\vec{e}}_{z} = -M g l \sin \theta$
 $\frac{dL_{\Delta}}{dt} = M_{\Delta}$
 $I_{\Delta} \, \ddot{\theta} = -M g l \sin \theta$

Petits des petits angles:
$$\ddot{\theta}=-rac{Mgl}{I_{\Delta}}\, heta \qquad \qquad \omega=\sqrt{rac{Mgl}{I_{\Delta}}}$$

Huygens-Steiner:
$$I_{\Delta} = I_G + Ml^2 > Ml^2$$

La fréquence angulaire du pendule physique est inférieure à celle du pendule mathématique équivalent (toute la masse concentrée en 1 PM situé en G)

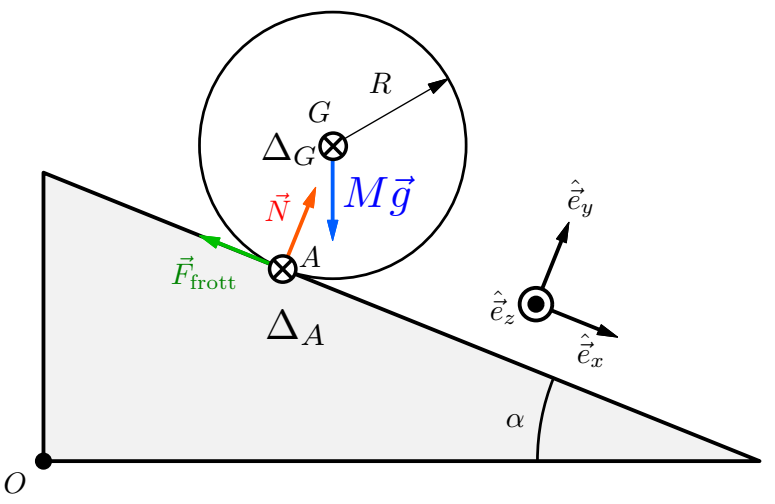
[■] Faculté des sciences de base



Solide en rotation autour d'un axe de direction fixe

(mouvement plan-sur-plan)

■ Application: cylindre plein, roulant sans glisser sur un plan incliné:



■ On peut choisir un axe Δ_G passant par le centre de masse....

Moment d'inertie: $I_{\Delta_G} = \frac{1}{2}MR^2$

Th. moment cinétique: $I_{\Delta_G} \frac{d\omega}{dt} = M_{\Delta_G}^{\rm ext}$

Moment des forces externes: $M_{\Delta_G}^{
m ext} = M_{\Delta_G}^{ec{F}_{
m frott}} = R \, |ec{F}_{
m frott}|$

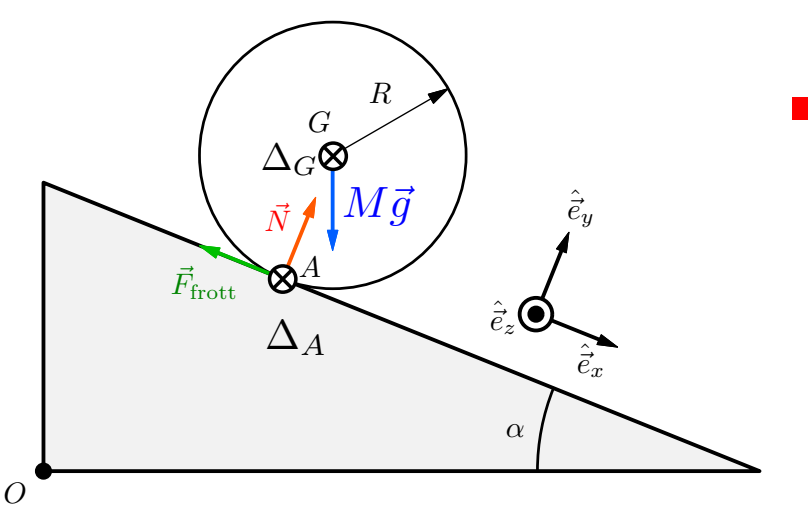
- Faculté des sciences de base
- SwissPlasmaCenter



Solide en rotation autour d'un axe de direction fixe

(mouvement plan-sur-plan)

■ Application: cylindre plein, roulant sans glisser sur un plan incliné:



... ou un axe Δ_A passant par le point de contact entre le cylindre et le plan incline.

Moment d'inertie:
$$I_{\Delta_A} = \underbrace{I_{\Delta_G} + MR^2}_{\text{Huyghens-Steiner}} = \frac{3}{2}MR^2$$

Th. moment cinétique:
$$I_{\Delta_A} \frac{d\omega}{dt} = M_{\Delta_A}^{\rm ext}$$

Moment des forces externes:
$$M^{\rm ext}_{\Delta_A} = M^{M \vec{g}}_{\Delta_A} = M |\vec{g}| R \sin \theta$$



$$R\frac{d\omega}{dt} = \frac{dv_G}{dt} = \frac{2}{3}g\sin\theta$$

Swiss
Plasma
Center

Energie cinétique : Koenig 2:
$$E_{\rm cin} = \frac{1}{2} M v_G^2 + E_{\rm cin}^*$$



$$E_{\rm cin} = \frac{1}{2}Mv_G^2 + \frac{1}{2}I_{\Delta_G}\omega^2$$



"L'essentiel dans l'éducation, ce n'est pas la doctrine enseignée, c'est l'éveil."

Ernest Renan / Souvenirs d'enfance

- Faculté
 des sciences
 de base
- SwissPlasmaCenter



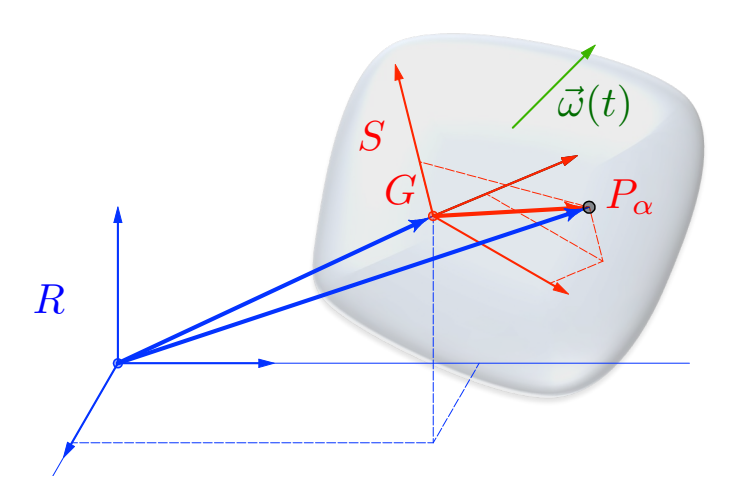
Annexe: cas general, tenseur d'inertie.

Dynamique du solide: Cas général. Tenseur d'inertie.

- Faculté
 des sciences
 de base
- SwissPlasmaCenter



Cas général: Moment cinétique par rapport au centre de masse, tenseur d'inertie.



On se propose de calculer le moment cinétique et le moment d'inertie du solide S de vecteur de rotation instantanée $\vec{\omega}(t)$ par rapport au centre de masse G.

On garde une description discrète par souci de légèreté.

Le moment cinétique par rapport au centre de masse G est donné par:

$$ec{L}_G = \sum_{lpha} \{\overrightarrow{GP}_lpha imes m_lpha ig(\overrightarrow{\omega} imes \overrightarrow{GP}_lpha ig) \}$$
 soit, en utilisant $ec{a} imes (ec{b} imes ec{c}) = ec{b} \, (ec{a} \cdot ec{c}) - ec{c} \, (ec{a} \cdot ec{b})$

$$\vec{L}_G = \sum_{\alpha} m_{\alpha} \left[(\overrightarrow{GP}_{\alpha} \cdot \overrightarrow{GP}_{\alpha}) \vec{\omega} - (\overrightarrow{GP}_{\alpha} \cdot \vec{\omega}) \overrightarrow{GP}_{\alpha} \right]$$

- Faculté des sciences de base
- Swiss Plasma Center



Cas général: Moment cinétique par rapport au centre de masse, tenseur d'inertie.

■ La composante i du moment cinétique s'écrit:

$$L_{G,i} = \sum_{\alpha} m_{\alpha} \left[|\overrightarrow{GP}_{\alpha}|^{2} \omega_{i} - \left(\sum_{j} GP_{\alpha,j} \omega_{j} \right) GP_{\alpha,i} \right]$$

 Comme on désire séparer les caractéristiques qui ne dépendent que du solide de celles qui dépendent de la dynamique, on réécrit le terme

$$|\overrightarrow{GP}_{\alpha}|^2 \,\omega_i = |\overrightarrow{GP}_{\alpha}|^2 \sum_j \delta_{ij} \,\omega_j$$

où on a introduit le symbole de Kronecker

$$\delta_{ij} = \begin{cases} 1 & \text{si } i = j \\ 0 & \text{si } i \neq j \end{cases}$$

$$L_{G_i} = \sum_{\alpha} m_{\alpha} \left[|\overrightarrow{GP}_{\alpha}|^2 \sum_{j} \delta_{ij} \, \omega_j - \left(\sum_{j} GP_{\alpha,j} \, \omega_j \right) \, GP_{\alpha,i} \right]$$

- Faculté des sciences de base
- SwissPlasmaCenter



Cas général: Moment cinétique par rapport au centre de masse, tenseur d'inertie.

■ En intervertissant les sommations sur j et sur α il vient:

$$L_{G_i} = \sum_{j} \sum_{\alpha} m_{\alpha} \left[|\overrightarrow{GP}_{\alpha}|^2 \, \delta_{ij} - GP_{\alpha,j} \, GP_{\alpha,i} \right] \omega_j = \sum_{j} I_{G_{ij}} \, \omega_j$$

où l'on définit le tenseur d'inertie par rapport au centre de masse:

$$I_{G_{ij}} = \sum_{\alpha} m_{\alpha} \left[|\overrightarrow{GP}_{\alpha}|^{2} \delta_{ij} - GP_{\alpha,j}GP_{\alpha,i} \right]$$

Tenseur d'inertie par rapport au centre de masse G

■ Ainsi, le moment cinétique est :

$$\vec{L}_G = I_G \vec{\omega} = \begin{pmatrix} I_{G_{11}} & I_{G_{12}} & I_{G_{13}} \\ I_{G_{21}} & I_{G_{22}} & I_{G_{23}} \\ I_{G_{31}} & I_{G_{32}} & I_{G_{33}} \end{pmatrix} \begin{pmatrix} \omega_1 \\ \omega_2 \\ \omega_3 \end{pmatrix}$$

- Faculté

 des sciences
 de base
- Swiss
 Plasma
 Center



Tenseur d'inertie par rapport au point G

En écrivant

$$\overrightarrow{GP}_{\alpha} = \left(\begin{array}{c} x_{\alpha} \\ y_{\alpha} \\ z_{\alpha} \end{array} \right)$$

le tenseur d'inertie s'écrit:

$$I_{G} = \begin{pmatrix} \sum_{\alpha} m_{\alpha} \left(y_{\alpha}^{2} + z_{\alpha}^{2} \right) & -\sum_{\alpha} m_{\alpha} x_{\alpha} y_{\alpha} & -\sum_{\alpha} m_{\alpha} x_{\alpha} z_{\alpha} \\ -\sum_{\alpha} m_{\alpha} x_{\alpha} y_{\alpha} & \sum_{\alpha} m_{\alpha} \left(x_{\alpha}^{2} + z_{\alpha}^{2} \right) & -\sum_{\alpha} m_{\alpha} y_{\alpha} z_{\alpha} \\ -\sum_{\alpha} m_{\alpha} x_{\alpha} z_{\alpha} & -\sum_{\alpha} m_{\alpha} y_{\alpha} z_{\alpha} & \sum_{\alpha} m_{\alpha} \left(x_{\alpha}^{2} + y_{\alpha}^{2} \right) \end{pmatrix}$$

- Faculté

 des sciences

 de base
- SwissPlasmaCenter



Propriétés du tenseur d'inertie

■ Sans démonstration: comme le tenseur d'inertie est réel et symétrique, il existe toujours un repère (= repère d'inertie) dans lequel il s'écrit sous forme de matrice diagonale.

$$I_G = \begin{pmatrix} I_{G_{11}} & 0 & 0 \\ 0 & I_{G_{22}} & 0 \\ 0 & 0 & I_{G_{33}} \end{pmatrix}$$

■ Si le solide présente des plans ou des axes de symétrie, ceux-ci sont perpendiculaires ou coincident avec les axes principaux du repère d'inertie.

Exemples: Sphère, cylindre, disque, cône, cube, etc

- Faculté

 des sciences
 de base
- SwissPlasmaCenter



Energie cinétique d'un solide en mouvement quelconque

La vitesse d'un point quelconque P_{α} d'un solide de centre de masse G est donnée par:

$$\vec{v}_{\alpha} = \vec{v}_G + \left(\overrightarrow{\omega} \times \overrightarrow{GP}_{\alpha}\right)$$

L'énergie cinétique totale est donc la somme des énergie cinétiques de tous les points matériels:

$$E_{\text{cin}} = \sum_{\alpha} \frac{1}{2} m_{\alpha} v_{\alpha}^{2} = \sum_{\alpha} \frac{1}{2} m_{\alpha} \left(\vec{v}_{G} + \left(\overrightarrow{\omega} \times \overrightarrow{GP}_{\alpha} \right) \right)^{2}$$
$$= \sum_{\alpha} \frac{1}{2} m_{\alpha} \vec{v}_{G}^{2} + \sum_{\alpha} \frac{1}{2} m_{\alpha} \vec{v}_{G} \cdot \left(\overrightarrow{\omega} \times \overrightarrow{GP}_{\alpha} \right) + \sum_{\alpha} \frac{1}{2} m_{\alpha} \left(\overrightarrow{\omega} \times \overrightarrow{GP}_{\alpha} \right)^{2}$$

En utilisant l'dentité vectorielle

$$\left(\vec{a} \times \vec{b}\right) \cdot \left(\vec{c} \times \vec{d}\right) = \left(\vec{a} \cdot \vec{c}\right) \left(\vec{b} \cdot \vec{d}\right) - \left(\vec{a} \cdot \vec{d}\right) \left(\vec{b} \cdot \vec{c}\right)$$

il vient:

$$E_{\rm cin} = \frac{1}{2} M \vec{v}_G^2 + \frac{1}{2} \vec{v}_G \cdot (\overrightarrow{\omega} \times \sum_{\alpha} m_{\alpha} \overrightarrow{GP}_{\alpha}) + \sum_{\alpha} \frac{1}{2} m_{\alpha} \left[|\overrightarrow{\omega}|^2 |\overrightarrow{GP}_{\alpha}|^2 - (\overrightarrow{\omega} \cdot \overrightarrow{GP}_{\alpha})^2 \right]$$

=0 J.-P. Hogge

■ Faculté des sciences de base

Swiss
Plasma
Center



Energie cinétique d'un solide en mouvement quelconque

■ Les deux derniers termes peuvent êtres réécrits comme

$$|\overrightarrow{\omega}|^2 |\overrightarrow{GP}_{\alpha}|^2 = (\omega_1^2 + \omega_2^2 + \omega_3^2) |\overrightarrow{GP}_{\alpha}|^2 = \sum_{i,j} |\overrightarrow{GP}_{\alpha}|^2 \omega_i \omega_j \, \delta_{ij}$$
$$(\overrightarrow{\omega} \cdot \overrightarrow{GP}_{\alpha})^2 = \left(\sum_i \omega_i \, GP_{\alpha_i}\right)^2 = \sum_{i,j} GP_{\alpha_i} \, GP_{\alpha_j} \, \omega_i \, \omega_j$$

Et on trouve donc pour l'énergie cinétique:

$$E_{\text{cin}} = \frac{1}{2} M \vec{v}_G^2 + \frac{1}{2} \sum_{i,j} \omega_i \underbrace{\left[\sum_{\alpha} m_{\alpha} \left(|\overrightarrow{GP}_{\alpha}|^2 \delta_{ij} - GP_{\alpha_i} GP_{\alpha_j} \right) \right]}_{I_{G_{ij}}} \omega_j$$

$$E_{\text{cin}} = \frac{1}{2} M \vec{v}_G^2 + \frac{1}{2} \sum_{i,j} \omega_i I_{G_{ij}} \omega_j = \frac{1}{2} M \vec{v}_G^2 + \frac{1}{2} \sum_i \omega_i \underbrace{\left(\sum_j I_{G_{ij}} \omega_j\right)}_{=(I_G \vec{\omega})_i}$$

$$E_{\rm cin} = \frac{1}{2} M \vec{v}_G^2 + \frac{1}{2} \vec{\omega} \cdot (I_G \vec{\omega})$$

■ Faculté
des sciences
de base

Swiss
Plasma
Center



Dynamique du solide: résumé (1)

Equations de la dynamique:

$$M ec{a}_G = ec{F}^{
m ext}$$
 $\dfrac{dec{L}_O}{dt} = ec{M}_O^{
m ext}$ + théorèmes de transfert / Koenig

- **Equilibre statique:** $\begin{cases} \vec{F}^{\rm ext} &= 0 \\ & \forall O \in {\rm r\'ef\'erentiel} \\ \vec{M}_O^{\rm ext} &= 0 \end{cases}$
- Le moment cinétique n'est en général pas parallèle au vecteur instantané de rotation
- Solide en rotation autour d'une axe fixe:

$$L_{\Delta} = I_{\Delta} \omega$$
 $L_{\Delta_G} = I_{\Delta_G} \omega$ $I_{\Delta} \frac{d\omega}{dt} = M_{\Delta}^{\text{ext}}$ $I_{\Delta_G} \frac{d\omega}{dt} = M_{\Delta_G}^{\text{ext}}$ $E_{\text{cin,rot}} = \frac{1}{2} I_{\Delta} \omega^2$ $E_{\text{cin}}^* = \frac{1}{2} I_{\Delta_G} \omega^2$

- Analogies entre le mouvement de translation et le mouvement de rotation
- Faculté des sciences de base
- SwissPlasmaCenter



Dynamique du solide: résumé (2)

Cas général

$$ec{L}_G = I_G \, ec{\omega} = \left(egin{array}{ccc} I_{G_{11}} & I_{G_{12}} & I_{G_{13}} \ I_{G_{21}} & I_{G_{22}} & I_{G_{23}} \ I_{G_{31}} & I_{G_{32}} & I_{G_{33}} \end{array}
ight) \left(egin{array}{c} \omega_1 \ \omega_2 \ \omega_3 \end{array}
ight)$$

$$I_{G_{ij}} = \sum_{\alpha} m_{\alpha} \left[|\overrightarrow{GP}_{\alpha}|^2 \delta_{ij} - GP_{\alpha,j}GP_{\alpha,i} \right]$$

■ Repère d'inertie:

$$I_G = \left(\begin{array}{ccc} I_{G_{11}} & 0 & 0\\ 0 & I_{G_{22}} & 0\\ 0 & 0 & I_{G_{33}} \end{array}\right)$$

Energie cinétique:

$$E_{\rm cin} = \frac{1}{2} M \vec{v}_G^2 + \frac{1}{2} \vec{\omega} \cdot (I_G \vec{\omega})$$

- Faculté des sciences de base
- Swiss
 Plasma
 Center